

Das Rätsel der kosmischen Vakuumenergiedichte und die beschleunigte Expansion des Universums

Domenico Giulini und Norbert Straumann
Institut für Theoretische Physik
der Universität Zürich
Winterthurerstrasse 190
CH-8057 Zürich, Schweiz

1. November 2018

Zusammenfassung

Die Grundprinzipien der Allgemeinen Relativitätstheorie lassen die Freiheit, die Feldgleichungen zusätzlich mit dem sogenannten kosmologischen Term auszustatten, der möglicherweise ganz oder teilweise durch die Quantenfluktuationen der Materiefelder interpretiert werden kann. Je nach Vorzeichen und Größe kann dieser in gewissen Entwicklungsphasen des Universums zu einer beschleunigten oder verzögerten Expansion führen. Neueste kosmologische Beobachtungen scheinen dafür zu sprechen, dass wir uns gegenwärtig in einer Phase *beschleunigter* Expansion befinden. Wir geben zunächst einen Abriss der Geschichte und fundamentalen Problematik des kosmologischen Terms und stellen dann die gegenwärtigen Evidenzen für einen positiven Wert vor, der eben zu einer beschleunigten Expansion führt.

1 Einleitung

Astronomische Beobachtungen der letzten zwei Jahre deuten mit zunehmender Deutlichkeit auf eine *beschleunigte* Expansion des Universums. Dies klingt zunächst sehr erstaunlich, sind wir doch daran gewöhnt, dass die Gravitationskraft immer anziehend ist und deshalb auch die großräumige Fluchtbewegung der Galaxien abbremsen sollte. Tatsächlich lässt sich eine kosmische Abstoßung weder bei den Planetenbahnen in unserem Sonnensystem noch in den Bewegungen von Galaxiengruppen beobachten.

Die Möglichkeit, eine kosmische Abstoßung in den Feldgleichungen der Allgemeinen Relativitätstheorie zu implementieren, erkannte Einstein schon Anfang 1917, etwas mehr als ein Jahr nach Aufstellung dieser Gleichungen,

als er versuchte, diese auf das ganze Universum anzuwenden [10]. Dabei bemerkte er, dass trotz der stark einschränkenden formalen Prinzipien es noch gestattet ist, die ursprüngliche Form der Feldgleichungen um einen sehr einfachen Zusatzterm zu erweitern, den man seither den kosmologischen Term nennt. Dieser beinhaltet einen noch unbestimmten multiplikativen Parameter, den man allgemein mit Λ bezeichnet und für den sich die Bezeichnung *kosmologische Konstante* eingebürgert hat. Für positives Λ wirkt der kosmologische Term wie eine konstante, den Raum auseinanderziehende Spannkraft. Da sich diese im Raum additiv verhält, kann sie unter Umständen auf großen Skalen über eine gravitative Abbremsung dominieren.

Später hat Einstein seine Einführung des kosmologischen Terms bedauert, aus heutiger Sicht wahrscheinlich zu Unrecht. Zunächst überzeugt sein einfaches Argument nicht, die Gleichungen seien ohne kosmologischen Term einfacher. Denn es ist eine allgemeine Erfahrungstatsache, dass formale Komplikationen, die nicht durch fundamentale Prinzipien verboten werden, von der Natur auch sehr häufig realisiert werden, z.B. im Standardmodell der Elementarteilchenphysik. Vielmehr ist ein kosmologischer Term sogar zu erwarten, da nach heutigen Quantenfeldtheorien auch der nominell leere Raum (das Vakuum) i.A. nicht verschwindende Energie besitzt (siehe Anhang 2). Die gravitative Wirkung dieser sogenannten *Vakuumenergie* ist aber genau die eines kosmologischen Terms. Obwohl dieser Term im Falle einer positiven kosmologischen Konstante einer positiven Energiedichte entspricht, führt er trotzdem zu einer gravitativen Abstoßung. Dies werden wir noch ausführlicher diskutieren.

Tatsächlich wundern sich die theoretischen Physiker schon lange darüber, warum die Vakuumenergiedichte nicht sehr viel größer ist, als es die astronomischen Beobachtungen zulassen. Dieser mysteriöse Aspekt der kosmologischen Konstante wird seit geraumer Zeit als eines der tiefsten Rätsel der Grundlagenphysik angesehen.

Für Astronomen und Kosmologen gibt es einen zweiten Aspekt im Zusammenhang mit einer möglicherweise nicht verschwindenden kosmologischen Konstanten. Da nämlich die Vakuumenergiedichte zeitlich konstant ist, aber andererseits die Energiedichte der Materie mit der kosmischen Expansion abnimmt, ist es höchst erstaunlich, dass beide ausgerechnet zum gegenwärtigen Zeitpunkt von vergleichbarer Größe sind, wie die noch zu besprechenden Messungen zeigen. Lösungsversuche dieses „kosmischen Koinzidenzproblems“ werden zur Zeit lebhaft diskutiert. Wir werden am Schluss dieses Aufsatzes kurz darauf eingehen.

2 Eine kurze Geschichte des kosmologischen Terms

Die Vorstellung eines dynamisch (expandierenden) Universums hat sich erst im 20. Jahrhundert durchgesetzt, obwohl schon Newton (nach Intervention Bentleys) klar war, dass die universell anziehende Gravitation kein statisches Universum zulässt. Der Zusammensturz der Fixsterne schien ihm un-

vermeidlich, wie u.A. aus folgendem Zitat aus einem seiner berühmten Briefe an Bishop Bentley vom 25. Februar 1693 hervorgeht (siehe dazu die Diskussion in [16], wo auch einige der relevanten Textstellen dieser interessanten Korrespondenz wiedergegeben sind):

“And tho all ye matter were at first divided into several systems and every system by a divine power constituted like ours: yet would the outward systems descend towards the middlemost so yt this frame of things could not always subsist without a divine power to conserve it”.

Versucht man aber tatsächlich die Newtonschen Gravitationsgesetze auf das ganze Universum anzuwenden, so wird man einer ganzen Reihe von Problemen begegnen: So sind die Ausdrücke für das Gravitationspotential und die Kraft nur dann wohldefiniert, wenn die Massendichte für große räumliche Abstände schneller als r^{-2} bzw. r^{-3} abfällt. Das unendlich gedachte Universum kann also nicht eine im Mittel homogene Massenverteilung endlicher Dichte tragen. Gegen die Annahme eines mehr oder weniger räumlich lokalisierten Universums im statistischen Gleichgewicht spricht aber der sogenannte „Verödungseinwand“, nach dem im Laufe der Zeit immer wieder Sterne ins räumlich Unendliche „abdampfen“ können. Diesem könnte man zwar mit der Annahme eines im räumlich Unendlichen nicht konstanten, sondern ansteigenden Gravitationspotentials begegnen, doch spricht gegen dieses die Beobachtungstatsache kleiner lokaler Relativgeschwindigkeiten der Sterne.

2.1 Newtonsche Analogie

Diese und ähnliche Schwierigkeiten haben schon lange vor Einsteins erster kosmologischer Arbeit dazu geführt, Abänderungen des Newtonschen Gravitationsgesetzes zu diskutieren. Von diesen Versuchen werden wir nur einen kurz erwähnen, weil er bei der Begründung des kosmologischen Terms eine gewisse Rolle gespielt hat und gerade deshalb Anlass zu Missverständnissen geben könnte. Dieser ging aus von dem Astronomen H. Seeliger, der, aufbauend auf Vorarbeiten C. Neumanns, eine zusätzliche exponentielle Dämpfung des üblichen Potentials in der Form $\exp(-r\sqrt{\Lambda})/r$ vorschlug [31], wobei Λ eine fundamentale Konstante von der Dimension Länge⁻² ist. (Tatsächlich hatte schon Laplace in seiner *Mécanique Céleste* über eine universelle Absorption der Gravitation in Materie und eine exponentielle Dämpfung des Kraftgesetzes spekuliert [22].) Auf der Ebene der Feldgleichungen entspricht dies einer Ergänzung der üblichen Poissongleichung durch einen zu Λ proportionalen Term in der Form

$$\Delta\phi - \Lambda\phi = 4\pi G\rho, \quad (1)$$

wobei ϕ das Gravitationspotential bezeichnet, ρ die Massendichte und G die Gravitationskonstante. Diese Gleichung besitzt nun eine reguläre Lösung für konstante Materieverteilung $\rho > 0$, nämlich einfach $\phi = -4\pi G\rho/\Lambda$. Dieser können dann die Gravitationsfelder lokaler Inhomogenitäten einfach überlagert werden. Die oben beschriebenen Schwierigkeiten treten jetzt nicht mehr auf.

Diese Modifikation der Poissongleichung durch den Λ -Term benutzte Einstein in seiner ersten Arbeit [10] als Analogie für die Einführung des kosmologischen Terms in seinen Feldgleichungen. Diese Argumentation ist dann in den klassischen Lehrbüchern und Monographien übernommen worden, so z.B. bei von Laue, Weyl, Pauli und Pais' Einstein-Biographie; stellvertretend sei hier nur auf S. 215 des berühmten Enzyklopädieartikels [25] von Wolfgang Pauli verwiesen. Es ist jedoch zu betonen, dass diese formale Analogie physikalisch irreführend ist, da der Λ -Term in der ART keineswegs den Effekt hat, die Reichweite der Gravitation zu beschränken. Quantenfeldtheoretisch ausgedrückt wird ja durch (1) dem Graviton (das die Rolle des „Photons“ in der Gravitation spielt) eine Masse von $m = \sqrt{\Lambda}\hbar/c$ zugeordnet, während es in der Einsteinschen Theorie mit kosmologischem Term masselos bleibt. Entsprechend ist auch (1) *nicht* der Newtonsche Limes der Einstein-Gleichungen. Um diesen zu verstehen, müssen wir zunächst bemerken, dass in der ART die Quelle des skalaren Gravitationspotentials nicht allein durch die Massendichte ρ gegeben ist, sondern durch die Summe $\rho + 3p/c^2$, wo p den Materiedruck bezeichnet. Eine kosmologische Konstante Λ entspricht in der ART aber sowohl einer Massendichte $\rho_\Lambda = \Lambda/8\pi G$, als auch einem Druck $p_\Lambda = -\rho_\Lambda c^2$.¹ Somit verursacht der Λ -Term im Newtonschen Limes den Zusatz $-2\rho_\Lambda$ zur Quelle. Damit ist erklärt, warum eine *positive* Vakuumenergiedichte trotzdem eine gravitativ *abstoßende* Wirkung hat.

Für nichtrelativistische Materie der Massendichte ρ_M ist der Newtonsche Limes also nicht durch (1) gegeben, sondern durch

$$\Delta\phi = 4\pi G(\rho_M - 2\rho_\Lambda). \quad (2)$$

Folgt man Ref. [17], so kann man ausgehend von (2) und den Eulergleichungen für die Materiebewegung die Friedmann-Lemaître-Gleichungen (13,14,15) von Anhang 1 innerhalb einer Newtonschen Kosmologie erhalten und interpretieren.

2.2 Das Machsche Prinzip

Ganz wesentlich für Einsteins Motivation, den kosmologischen Term einzuführen, war seine damalige Vermutung, dass damit das von ihm so genannte *Machsche Prinzip* erfüllt sei, nach dem die Trägheitskräfte ihre ausschließliche Ursache in der Wechselwirkung mit anderer Materie haben sollen. Insbesondere dürften Trägheitskräfte in einem Universum ohne Materie nicht existieren. Da Trägheit und Gravitation in der ART durch das Äquivalenzprinzip aber untrennbar miteinander zusammenhängen, bedeutet dies, dass die Feldgleichungen überhaupt keine Vakuumlösungen zulassen.

¹Schon in der Speziellen Relativitätstheorie gilt ja, dass die träge Masse eines Körpers von seinem Spannungszustand abhängt. Nach dem Prinzip der Gleichheit von träger und schwerer Masse gilt dies dann auch für letztere. Dass Druck = - Energiedichte kann man mit der Energieerhaltung einsehen: Da $\rho_\Lambda = \text{konst.}$, vergrößert adiabatische Volumendilatation die innere Energie um $c^2\rho_\Lambda\Delta V$, gleichzeitig wird dabei aber die Arbeit $-p_\Lambda\Delta V$ am System geleistet. Beide Beträge müssen nun gleich sein.

sen dürfen. Nun ist z.B. die flache Raum-Zeit der Speziellen Relativitätstheorie (Minkowskiraum) zwar Vakuumlösung der gewöhnlichen Feldgleichungen, nicht aber der Gleichungen mit kosmologischem Term. Einstein erkannte aber auch, dass die Einführung des kosmologischen Terms allein noch nicht ausreichte. Ist der Raum nämlich nicht geschlossen², so kann durch Ansetzen willkürlicher Randbedingungen ein nicht verschwindendes Gravitationsfeld „erzeugt“ werden. Das „Machsche Prinzip“ erhoffte Einstein nun dadurch zu implementieren, dass er nur *räumlich geschlossene* Universen als Lösungen seiner neuen Feldgleichungen zuließ. Seine eigene diesen Forderungen genügende Lösung [10] ist das statische *Einstein-Universum* mit räumlich homogener, druckloser Massenverteilung in einem Raum der Topologie der 3-Sphäre S^3 (siehe Anhang 1).

Entgegen Einsteins Hoffnung, dass ohne Materie keine solche Lösung existieren könne, gab noch im gleichen Jahr (1917) de Sitter eine statische *Vakuumlösung* der Gleichungen mit kosmologischer Konstante an, in der der Raum ebenfalls geschlossen (S^3) ist. Seiner ursprünglichen Hoffnung beraubt, meinte Einstein später: „...von dem Machschen Prinzip sollte man eigentlich überhaupt nicht mehr reden“. Was diejenigen, die sich nicht an diese Anweisung halten, trotzdem darüber reden, kann der Leser in [4] erfahren.

2.3 Von statischen zum dynamischen Universum

Eine interessante Eigenschaft der de Sitter-Lösung bestand darin, dass sie trotz ihrer (scheinbaren) Statizität eine gravitative Rotverschiebung implizierte, die als „de Sitter-Effekt“ bekannt wurde. Im Gegensatz zur wirklich statischen Lösung Einsteins stellte sich aber der statische Charakter der de Sitter-Lösung als nur *lokal* gültig heraus: global ist das ganze de Sitter-Universum ebenfalls einer zeitlichen Änderung unterworfen. Diese etwas subtilen mathematischen Sachverhalte wurden erst wesentlich durch Arbeiten des Mathematikers Hermann Weyl um 1923 geklärt. Heute wird konsequenterweise die de Sitter-Lösung als Spezialfall einer nichtstatischen Kosmologie in der Familie von Friedmann-Lemaître Modellen (vgl. Anhang 1) verstanden.

Wegbereiter nichtstatischer Kosmologien waren die bahnbrechenden Arbeiten A. Friedmanns (1922) und die davon unabhängig entstandenen Arbeiten Lemaîtres (1927), der die kosmologische Rotverschiebung zum ersten Male als Folge der globalen Expansionsbewegung interpretierte. Trotzdem dominierten die „statischen“ Lösungen Einsteins und de Sitters die kosmologische Diskussion der 20er-Jahre. So hat erstaunlicherweise selbst Hubble noch 1929 die Resultate seiner vorhergehenden Beobachtungen der galaktischen Rotverschiebungen im Rahmen des als statisch angenommenen de Sitter-Universums interpretiert („de Sitter-Effekt“), und Einstein soll im

²„Geschlossen“ ist ein topologischer Begriff, der – etwas ungenau – besagt, dass der Raum von beschränkter Ausdehnung (genau: kompakt) und ohne Rand ist. So ist etwa die Erdoberfläche (2-Sphäre) oder die Oberfläche eines Fahrradschlauches (2-Torus) geschlossen. Als „offen“ hingegen bezeichnet man z.B. die unendliche Ebene (oder allgemeiner: den R^n).

Oktober 1927 anlässlich des Solvay-Kongresses in Brüssel zu Lemaître gesagt haben: „Vos calculs sont corrects, mais votre physique est abominable“ (vgl. Schückings Beitrag zu [7] und Kap. 5 in [14]).

Schließlich setzte sich aber Lemaîtres erfolgreiche Erklärung von Hubbles epochaler Entdeckung durch, vor allem unter dem Einfluss Eddingtons. Auch Einstein stellte sich bald auf die neue Lage ein und verwarf den kosmologischen Term und damit natürlich auch seine alte statische Lösung; nicht nur weil letztere keine Rechenschaft der kosmologischen Rotverschiebung geben konnte, sondern vor allem auch deshalb, weil sie sich als gegenüber Störungen instabil erwies [11] (siehe Anhang 1).

2.4 Das weitere Schicksal Lambdas

Einer weit verbreiteten Überlieferung zufolge soll Einstein später seine Einführung des kosmologischen Terms „als größte Dummheit meines Lebens“ bezeichnet haben; ein Beleg für dieses Zitat ist uns allerdings unbekannt. In [12] schrieb er dazu: „Würde die Hubble-Expansion bei Aufstellung der Allgemeinen Relativitätstheorie bereits entdeckt gewesen sein, so wäre es nie zur Einführung des kosmologischen Terms gekommen. Es erscheint nun a posteriori um so ungerechtfertigter, einen solchen Term in die Feldgleichungen einzuführen, als dessen Einführung seine einzige ursprüngliche Existenzberechtigung – zu einer natürlichen Lösung des kosmologischen Problems zu führen – einbüßt.“ Viele der einflussreichen Kommentatoren, so z.B. Pauli und Jordan (siehe stellvertretend [25], S. 265 Anm. 18) haben sich diesem Urteil angeschlossen; doch gab es auch Ausnahmen (siehe z.B. [17], Anm. zu S. 35).

Zeitweise geriet das Standardmodell von Friedmann und Lemaître ohne kosmologischen Term in Misskredit, da das Alter des Universums aufgrund von Hubbles Messungen im Vergleich zum Alter der Sterne als zu kurz herauskam. Deshalb wurde der Λ -Term wieder eingeführt, und ein früheres Modell von Lemaître mit verzögerter Expansion erfuhr eine Wiederbelebung. Das änderte sich aber, als neue astronomische Beobachtungen, vor allem durch W. Baade am Mt. Palomar-Observatorium, zu einer erheblichen Revision des Hubble-Parameters führten. Eine ausführliche Schilderung dieser spannenden Entwicklung findet man in [14].

In jüngerer Zeit haben nun relativ große Werte des Hubble-Parameters, die von gewissen Gruppen vertreten wurden, eine erneute „Alterskrise“ verursacht, zu deren Behebung als Medizin einmal mehr den kosmologischen Term herbeizitiert wurde. Auch andere Gründe für den Λ -Term wurden ins Feld geführt, welche sich aber bald – Dank erweiterter Beobachtungen – als voreilig erwiesen. Die neuesten experimentellen Daten scheinen nun viel überzeugender als bisher erneut einen positiven Wert der kosmologischen Konstante zu fordern. Es bleibt gespannt abzuwarten, ob es diesmal dabei bleiben wird.

3 Das Problem der kosmologischen Konstante

Eine charakteristische Massendichte der Kosmologie ist die sogenannte *kritische Dichte*

$$\rho_{\text{krit}} := \frac{3H_0^2}{8\pi G} \approx 10^{-29} \frac{\text{g}}{\text{cm}^3}, \quad (3)$$

die im Falle einer verschwindenden kosmologischen Konstante einer flachen Geometrie zugehörig ist, während größere bzw. kleinere Massendichten dann zu positiven bzw. negativen Krümmungen führen. Auch im allgemeinen Fall ($\Lambda \neq 0$), in dem der Zusammenhang von Massendichte und Krümmung noch Λ involviert (vgl. (16) in Anhang 1), behält man ρ_{krit} als Bezugsgröße bei.

In (3) ist G die Newtonsche Gravitationskonstante und H_0 der *Hubble-Parameter* zum gegenwärtigen Zeitpunkt (deshalb Index 0). Für nicht allzu ferne Galaxien ist deren Geschwindigkeit proportional zur Entfernung. Die Proportionalitätskonstante in diesem *Hubbleschen Gesetz* ist gerade der Hubble-Parameter, der die Dimension einer inversen Zeit hat. Der Wert von H_0 bestimmt im Wesentlichen auch alle anderen kosmologischen Skalen und wird gerne in Form der sogenannten „reduzierten Hubble-Konstante“ $h_0 := H_0/100 \cdot \text{Km} \cdot \text{s}^{-1} \cdot \text{Mpc}^{-1}$ angegeben, deren Wert gegenwärtig auf $h_0 \approx 0,65 \pm 0,1$ eingegrenzt ist; dabei ist $1\text{Mpc} = 3,086 \cdot 10^{19} \text{Km}$.

Verschiedene Beobachtungen zeigen nun, dass die der kosmologischen Konstante entsprechende gravitierende Energiedichte $\rho_\Lambda c^2$ nicht wesentlich größer als $\rho_{\text{krit}} c^2$ sein kann. Zum Einen würde nämlich ein zu großes ρ_Λ (vgl. die linke obere Ecke von Abbildung 1) den Urknall verhindern³ und damit unsere Erklärung der Häufigkeit leichter Elemente zunichte machen. Zum Anderen setzen Altersbestimmungen an Kugelsternhaufen eine obere Grenze an das Weltalter und damit an ρ_Λ , da ja ein positives ρ_Λ den Effekt hat, die Expansionsgeschwindigkeit in der Vergangenheit zu verlangsamen und damit das Weltalter zu erhöhen. In den der Teilchenphysik angemessenen Einheiten ist diese Schranke infinitesimal:

$$\rho_\Lambda c^2 \leq 10^{-46} (\text{GeV})^4 / (\hbar c)^3. \quad (4)$$

Wie bereits erwähnt ist es nämlich mehr als rätselhaft, weshalb aufgrund von Quantenfluktuationen das Standardmodell der Elementarteilchenphysik nicht eine gravitativ wirksame Vakuumenergiedichte nach sich zieht, welche die zuletzt angegebene Schranke gewaltig überschreitet. Prinzipielles dazu wird in siehe Anhang 2 ausgeführt. Als Maßstab kann z.B. die *Kondensationsenergiedichte* beim Phasenübergang der Quantenchromodynamik dienen, die etwa $10^{-1} (\text{GeV})^4 / (\hbar c)^3$ beträgt und somit die angegebene Schranke um mehr als 40 Größenordnungen übersteigt. Für denkbare Kompensationen verschiedener Beiträge gibt es aber keinen Grund, da alle Symmetrien – außer der elektromagnetischen Eichgruppe – spontan gebrochen

³ Genauer gilt im uns interessierenden Wertebereich $0,1 \leq \Omega_M \leq 1, |\Omega_\Lambda| \leq 1$, dass das Weltalter divergiert, falls Ω_Λ eine kritische obere Grenze von etwa $1 + \frac{7}{3}\Omega_M$ überschreitet. Das ergibt sich sofort aus Gl. (5.3) von [26].

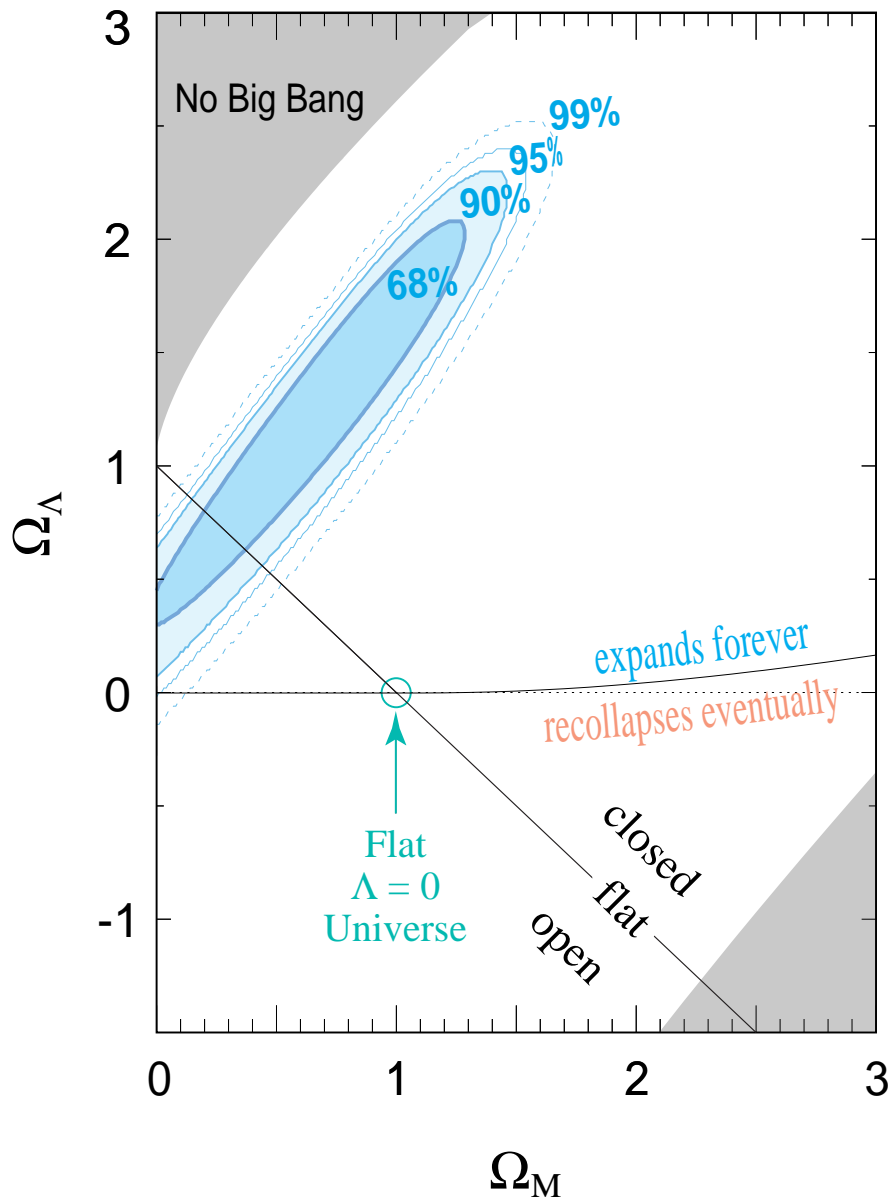


Abbildung 1: Konfidenzgebiete in der $(\Omega_M, \Omega_\Lambda)$ – Ebene, wie sie sich aus den Supernovae-Daten ergeben. Das schattierte Gebiet links oben entspricht zurückprallenden Modellen ohne Urknall. Das schattierte Gebiet rechts unten ist ausgeschlossen, da das Alter des Universums in diesem Bereich zu kurz ist. Oberhalb der (nicht eingezeichneten) Geraden $\Omega_\Lambda = \frac{1}{2}\Omega_M$ verläuft die Expansion beschleunigt, unterhalb verzögert. Das Diagramm ist der Homepage des SCP [32] entnommen.

sind. Zwar ist es logisch möglich, neben dem durch die Vakuumfluktuationen induzierten Λ_{vac} ein in den Feldgleichungen a priori vorhandenes Λ_0 anzunehmen, so dass dann deren Summe – das effektive Λ – die experimentelle Schranke nicht übersteigt. Dieses λ_0 entspräche dann keiner neuen Energieform, sondern wäre als gleichberechtigter Bestandteil der Vakuum-Einsteingleichungen anzusehen. Doch würde eine solch extreme a priori Anpassung der Beträge („fine-tuning“) bis auf 40 Stellen keinen physikalischen Erklärungswert besitzen. Wir stehen hier vor einem tiefen Rätsel, zu dessen Lösung uns vorläufig die Grundlagen fehlen. Mehr dazu findet man im Übersichtsartikel von S. Weinberg [34].

Die Frage nach einer gravitativ wirksamen Vakuumenergiedichte wurde von Pauli schon in seinen jungen Jahren anhand eines einfachen Falls gestellt: Er fragte sich, ob vielleicht die Nullpunktsenergie des elektromagnetischen Feldes ein Gravitationsfeld erzeugen könnte. Wegen der unendlich vielen Freiheitsgrade ist diese zwar divergent, aber jede Physikergeneration hat ihre Abschneideskala, und das war damals der klassische Elektronenradius ($R_e = 2,8 \cdot 10^{-15} m$), entsprechend einer maximalen Modenenergie ($2\pi\hbar c/R_e$) von etwa $0,5 GeV$. Die so gewonnene Energiedichte setzte Pauli versuchsweise in die Grundgleichung für das statische Einstein-Universum ein und stellte amüsiert fest, dass „das Universum nicht einmal bis zum Mond reicht“ (berichtet in [13]); tatsächlich ergibt die Rechnung einen Radius von nur $32 Km$. Heute würden wir die effektive Abschneideskala für die maximale Modenenergie sogar noch viel höher ansetzen, nämlich bei der sogenannten Fermi-Skala von etwa $100 GeV$, was den prognostizierten Radius des Einstein-Universums weiter auf $13 cm$ schrumpfen ließe, etwa 27 Größenordnungen unter dem heutigen Hubble-Radius. (Dieser entspricht etwa der Distanz *Weltalter* \times *Lichtgeschwindigkeit*, wobei das Weltalter ungefähr bei $1,5 \cdot 10^{10}$ Jahren liegt.) Damit dürfte es sich um die schlechteste Prognose in der Geschichte der Physik handeln.

4 Hubble-Diagramm der Supernovae vom Typ Ia bei hohen Rotverschiebungen

Naiv versteht man zunächst unter einem Hubble-Diagramm die Kurve, in der die Fluchtgeschwindigkeit als Funktion des Abstandes aufgetragen ist. Diese ist, wie schon gesagt, in sehr guter Näherung eine Gerade durch den Ursprung deren Steigung durch den Hubble-Parameter H_0 gegeben ist. Verläuft die kosmische Expansion beschleunigt oder verzögert, so werden aber für große Abstände Abweichungen von der Geraden dadurch eintreten, dass die hier und heute bestimmten Geschwindigkeiten dem betreffenden Objekt um die Lichtlaufzeit früher zukommen und deshalb entsprechend kleiner bzw. größer sind.

Es ist jedoch zu bedenken, dass für die großen Skalen, mit denen es die Kosmologie zu tun hat, weder Abstände noch Geschwindigkeiten direkt

messbare Größen sind. Eine als Abstandsmaß verwendete Größe ist die sogenannte *Helligkeitsdistanz* D_L , die wir gleich vorstellen werden. Anstatt der Geschwindigkeit benutzt man die Rotverschiebung z , die durch $\lambda_e = (1+z)\lambda_a$ definiert ist, wobei λ_e die empfangene, λ_a die ausgestrahlte Wellenlänge ist. Es ist an dieser Stelle zu betonen, dass auch aus prinzipiellen Erwägungen der Begriff der Flucht-*Geschwindigkeit* hier sehr problematisch ist, da wir es mit weit entfernten Objekten in einer *zeitlich veränderlichen Geometrie* zu tun haben. Nicht die Objekte bewegen sich *im Raum* (lokal sind sie im Mittel in Ruhe), sondern der Raum zwischen ihnen dehnt sich aus. Es ist daher i.A. auch sinnlos, die Rotverschiebung nach der Dopplerschen Formel in eine Geschwindigkeit zurückzurechnen, was zu allerlei Fehlinterpretationen Anlass geben kann.

Trägt man nun diese beiden Größen gegeneinander, mitunter mit vertauschten Achsen, also etwa die Helligkeitsdistanz (bzw. eine logarithmische Funktion von ihr) als Funktion der Rotverschiebung, so erhält man das, was man heute allgemein ein Hubble-Diagramm nennt.

Bevor die neuen aufregenden Daten für die Klasse der Typ Ia Supernovae vorgestellt und diskutiert werden, müssen wir kurz einige Fakten wiederholen, um zu verstehen welche Größen eigentlich gemessen wurden.

4.1 Theoretischer Hintergrund

In der Kosmologie werden unterschiedliche Distanzmaße verwendet, welche aber über einfache Rotverschiebungsfaktoren verknüpft sind. Für das Folgende ist die *Helligkeitsdistanz* D_L maßgebend, die durch $D_L = \sqrt{L/4\pi F}$ definiert ist, wo L die intrinsische Luminosität der Quelle und F der beobachtete Energiefluss ist. Wie bei allen kosmologischen Distanzen setzt man D_L zweckmäßigerweise proportional zu $c/H_0 = 3000h_0^{-1}Mpc$ und erhält

$$D_L(z) = \frac{c}{H_0}d_L(z; \Omega_M, \Omega_\Lambda) \quad (5)$$

mit der dimensionslosen Größe d_L , die in allen Friedmann-Lemaître-Modellen eine bekannte Funktion der Rotverschiebung z und der wichtigen kosmologischen Parameter

$$\Omega_M := \frac{\rho_M}{\rho_{\text{krit}}}, \quad \Omega_\Lambda := \frac{\rho_\Lambda}{\rho_{\text{krit}}} \quad (6)$$

ist. Dabei repräsentiert Ω_M die gesamte Materie, einschließlich der dunklen Materie samt ihrem nichtbaryonischen Anteil. Die Größe $\Omega_K = 1 - \Omega_M - \Omega_\Lambda$ ist ein Maß für die (räumlich konstante) Krümmung des Raumes: Bei positiver bzw. negativer Krümmung ist Ω_K negativ bzw. positiv. Für einen flachen Raum ist $\Omega_K = 0$, d.h. $\Omega_M + \Omega_\Lambda = 1$ (siehe Anhang 1).

Astronomen benutzen als logarithmische Maße für L und F sogenannte *absolute* bzw. *scheinbare Magnituden* M und m . Die Konventionen sind dabei

so getroffen, dass der *Distanzmodul* $m - M$ mit D_L so zusammenhängt:

$$m - M = 5 \log \left(\frac{D_L}{1 \text{Mpc}} \right) + 25. \quad (7)$$

Wird hier die obige Darstellung von D_L eingesetzt, so ergibt sich die folgende Beziehung zwischen scheinbarer Magnitude m und Rotverschiebung z :

$$m = \mu + 5 \log d_L(z; \Omega_M, \Omega_\Lambda), \quad (8)$$

mit $\mu = M - 5 \log(H_0 \cdot 1 \text{Mpc}/c) + 25$. Für Standardkerzen (einheitliches M) ist dies natürlich eine Konstante, welche als Anpassungsparameter behandelt wird. Durch Vergleich dieser theoretischen Erwartung mit Beobachtungsdaten werden sich interessante Einschränkungen an die kosmologischen Parameter Ω_M und Ω_Λ ergeben.

In diesem Zusammenhang ist die folgende Bemerkung wichtig: Halten wir z im relevanten Intervall zwischen 0,4 und 0,8 der derzeitigen Beobachtungen fest, so definieren die Gleichungen $d_L(z; \Omega_M, \Omega_\Lambda) = \text{konst.}$ Entartungskurven in der Ω -Ebene. Da die Krümmungen dieser Kurven sich als gering erweisen, können wir ihnen eine ungefähre Steigung zuordnen. Für $z = 0,4$ ist diese nahe bei 1 und nimmt auf 1,5 bis 2 bei $z = 0,8$ zu, für den ganzen interessierenden Wertebereich von Ω_M und Ω_Λ . Deshalb können auch sehr genaue Daten nur ein schmales Band in der Ω -Ebene aussondern, was wiederum die langgestreckte Form der „Likelihood-Gebiete“ erklärt, die in Abbildung 1 gezeigt werden. Er wird also darauf ankommen, mit unabhängigen Methoden mehrere, sich möglichst transversal schneidende Gebiete auszu-sondern.

4.2 Supernovae vom Typ Ia als Standardkerzen

Schon in den dreißiger Jahren wurde erkannt, dass Supernovae vom Typ Ia ausgezeichnete Standardkerzen sind, welche zudem bis zu kosmischen Distanzen von $\approx 500 \text{Mpc}$ sichtbar sind [1]. Für nähere Distanzen eignen sie sich besonders zur Bestimmung des Hubble-Parameters. Dafür ist freilich eine *Kalibrierung* der absoluten Magnitude mit verschiedenen Distanzbestimmungen nötig. Dank des Weltraumteleskops *Hubble* (HST) wurde dies mit Hilfe von sogenannten Cepheiden möglich [24]. Cepheiden sind pulsierende und damit periodisch ihre Helligkeit verändernde Sterne, deren absolute Helligkeit in einem annähernd festen Verhältnis zu ihrer Pulsationsfrequenz steht. Beobachtungen dieser Frequenz und der scheinbaren Helligkeit lassen daher Rückschlüsse auf die Entfernung zu.

Wie eingangs erwähnt, ergeben sich bei beschleunigter bzw. verzögerter Expansion Abweichungen vom linearen Hubble-Gesetz bei großen Abständen. Diese werden mit dem sogenannten *Bremsparameter* charakterisiert (siehe Anhang 1). Daher haben bereits 1979 Tammann [33] und Colgate [9] unabhängig voneinander vorgeschlagen, dass die genannte Klasse von Supernovae bei höheren Rotverschiebungen zur Bestimmung dieses

Bremsparameters benutzt werden könnte. Inzwischen ist die Verwirklichung dieses Programms Dank neuer Technologien ermöglicht worden. Wesentlich für die Entdeckung der Supernovae bei hohen Rotverschiebungen sind großflächige Detektoren an Großteleskopen, die es ermöglichen, digitale Aufnahmen relativ großer Himmelsareale zu erhalten. Für die anschließenden photometrischen und spektroskopischen Untersuchungen ist ferner der Einsatz der besten Großteleskope, wie dem *HST* und *Keck*, unerlässlich.

Zwei Forschergruppen haben diese Untersuchungen in den letzten Jahren vorangetrieben, nämlich das „Supernovae Cosmology Project“ (SCP, Homepage [32]) und das „High-Z Supernova Search Team“ (HZT). Beide Gruppen haben je über 70 Supernovae vom Typ Ia entdeckt und publizierten in jüngster Zeit fast identische Ergebnisse; siehe [27] bzw. [29]. In Anbetracht deren Bedeutung ist diese Übereinstimmung besonders hervorzuheben.

Bevor wir auf die Resultate eingehen, sind noch einige, zum Teil kritische Bemerkungen über die Natur und die physikalischen Eigenschaften einer Supernova vom Typ Ia nötig. Ihr unmittelbarer Vorgänger ist wahrscheinlich ein Weisser Zwerg, welcher hauptsächlich aus Kohlenstoff und Sauerstoff besteht und Teil eines engen Doppelsternsystems ist. Im Standardszenario strömt vom Begleiter Materie auf den Weissen Zwerg, so dass unter Umständen dessen Masse stetig zunimmt, bis die kritische Chandrasekhar-Masse erreicht wird und der Weisse Zwerg instabil wird. Dies führt dann entweder zu einem Kollaps auf einen Neutronenstern oder zur Zündung des entarteten Kohlenstoffs tief im Inneren. Im zweiten Fall entsteht eine nach außen propagierende subsonische nukleare Brennfront (eine Deflagration), wobei der Weisse Zwerg vollständig zerrissen wird. In wenigen Sekunden wird das Sternmaterial weitgehend in Nickel und andere Elemente zwischen Silizium und Eisen umgewandelt. Das ausgestoßene Nickel zerfällt in Kobalt und danach in Eisen. Es muss aber betont werden, dass die Physik dieser thermonuklearen Explosion von entarteter Materie sehr komplex und noch nicht hinreichend verstanden ist. Deshalb sind auch die durchgeführten numerischen Simulationen im Detail noch nicht als zuverlässig anzusehen.

Supernovae des Typs Ia sind keine *perfekten* Standardkerzen. Ihre Maximalleuchtkräfte zeigen je nach Auswahl eine Dispersion von $0,3 - 0,5 \text{ mag}$. Dabei bezeichnet mag das in der messenden Astronomie benutzte Helligkeitsmaß, welches mit dem Intensitätsverhältnis I_1/I_2 so zusammenhängt: $\log(I_1/I_2) = -0,4(m_1 - m_2)$. Die Astronomen haben jedoch gelernt, die Unterschiede herauszukorrigieren und somit die intrinsische Dispersion unter $0,17 \text{ mag}$ zu drücken. Dabei benutzen sie eine intrinsische Korrelation zwischen maximaler Helligkeit und Breite der Lichtkurve, die es gestattet, mittels einfacher Streckungen der Zeitachse alle Lichtkurven mit erstaunlicher Genauigkeit zur Deckung zu bringen. Natürlich müssen auch andere Korrekturen, wie z.B. die galaktische Extinktion in Rechnung gestellt werden. Am Ende wird für jede Supernova eine effektive scheinbare Magnitude m_B^{eff} im blauen Filter (bezüglich des Ruhesystems) bestimmt. Die Abhängigkeit dieser Größe von der Rotverschiebung wird schließlich mit der theoretischen Erwartung (8) verglichen.

4.3 Ergebnisse

Abbildung 2 zeigt das Hubble-Diagramm für m_B^{eff} der 42 Typ-Ia-Supernovae bei hoher Rotverschiebung, das von der SCP-Gruppe publiziert wurde [27], zusammen mit 18 Calán/Tololo Supernovae bei kleinen Rotverschiebungen. (Für die Ergebnisse des HZT siehe [29].)

Das hauptsächliche Resultat der Analyse ist in Abbildung 1 dargestellt. Die Lage der Konfidenzgebiete in der $(\Omega_M, \Omega_\Lambda)$ – Ebene zeigt insbesondere, dass Ω_Λ auf dem 95%-Konfidenzniveau von Null verschieden und positiv ist.⁴ Eine approximative Anpassung ist

$$0,8\Omega_M - 0,6\Omega_\Lambda \approx -0,2 \pm 0,1. \quad (9)$$

Da die länglichen „Likelihood-Gebiete“ annähernd senkrecht auf den Geraden konstanter Raumkrümmung ($\Omega_M + \Omega_\Lambda = \text{konst.}$) stehen, sagen diese Messungen fast nichts über die räumlichen Krümmungsverhältnisse. Diese werden erst durch die unten zu besprechenden Messungen der Anisotropie des Mikrowellenhintergrundes wesentlich eingeschränkt, deren „Likelihood-Gebiete“ stark entlang der Geraden verschwindender Raumkrümmung konzentriert sind. Setzt man also die Raumkrümmung mit null an, so muss nach Gleichung (16) aus Anhang 1 $\Omega_M + \Omega_\Lambda = 1$ gelten. Damit ergibt sich dann der Materieanteil der Massendichte, einschließlich dunkler (auch nichtbaryonischer) Materie, zu

$$\Omega_M^{\text{flach}} = 0,28 \begin{matrix} +0,09 \\ -0,08 \end{matrix} (1\sigma \text{ statistisch}) \\ \begin{matrix} +0,05 \\ -0,04 \end{matrix} (\text{identifizierte syst. Fehler}). \quad (10)$$

4.4 Systematische Fehler

Hinsichtlich der Frage der Vorläufigkeit dieser Ergebnisse dürfen Hinweise auf mögliche Fehlerquellen selbstverständlich nicht unterdrückt werden. Die Ergebnisse beider Forschungsgruppen sind in erster Linie durch *systematische Fehler* begrenzt, die eingehend untersucht werden. Nach Berücksichtigung aller bisher quantifizierten Fehler scheint es unmöglich zu sein, die Daten mit $\Omega_\Lambda = 0$ zu beschreiben. Trotzdem werden noch viele Untersuchungen nötig sein, um sicherzugehen, dass die in Abbildung 1 gezeigten Resultate nicht doch durch systematische Effekte verfälscht werden. Man wird weiter nach unidentifizierten Effekten suchen, aufgrund deren die Supernovae bei hohen Rotverschiebungen systematisch um etwa 15% schwächer erscheinen würden.

Neben Extinktion durch die Muttergalaxie und im intergalaktischen Raum beunruhigen am meisten evolutive Effekte, die sich daraus ergeben

⁴Die vollständige Analyse in [27] ergibt sogar ein positives Ω_Λ auf dem 99%-Konfidenzniveau. Darauf brauchen wir aber nicht näher einzugehen, da die neuen, noch zu besprechenden Mikrowellendaten kleine Ω_Λ ebenfalls ausschließen; siehe Abbildung 3.

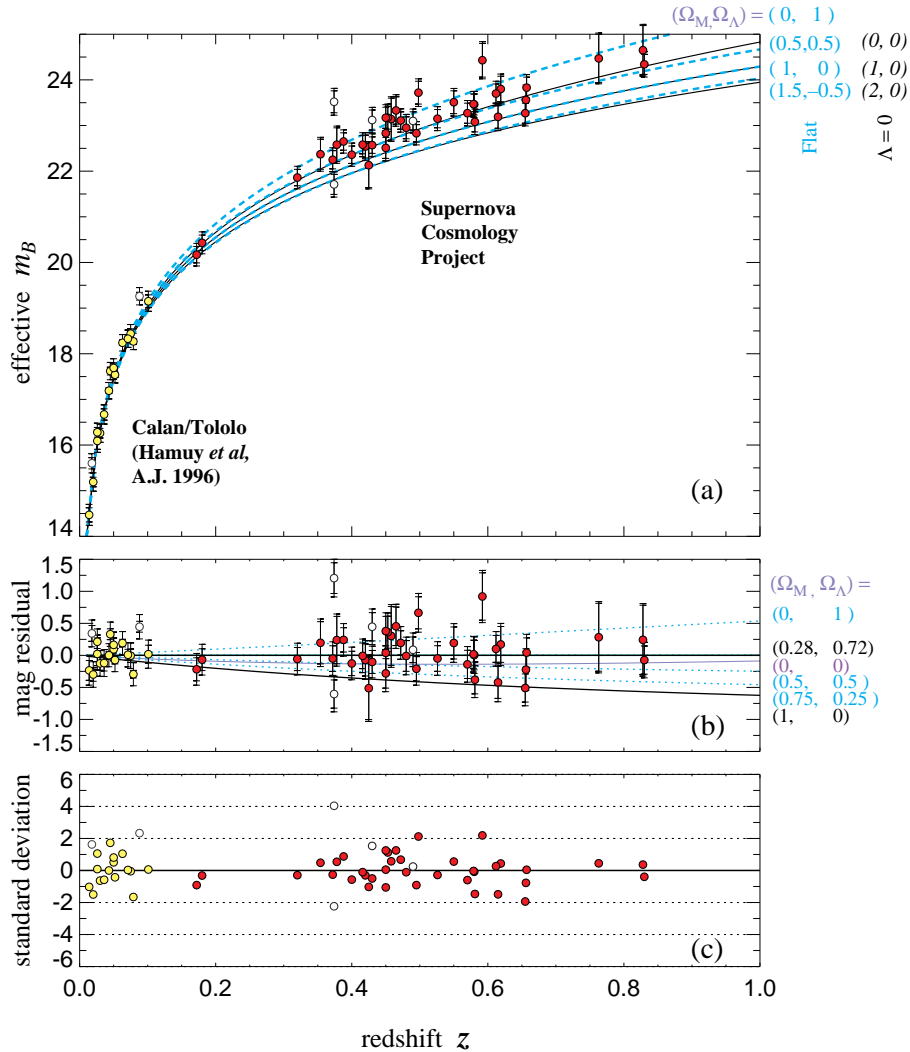


Abbildung 2: Oberer Kasten: Magnituden-Rotverschiebungs-Beziehung (Hubble-Diagramm) für 42 Typ-Ia-Supernovae bei hohen Rotverschiebungen des SCP, zusammen mit 18 Supernovae bei kleinen Rotverschiebungen der Calán/Tololo - Durchmusterung. Die durchgezogenen Kurven entsprechen den theoretischen Erwartungen für $\Lambda = 0$, die gestrichelten denjenigen für verschiedene flache Modelle. Mittlerer Kasten: Abweichungen der Magnituden zum besten Fit $(\Omega_M, \Omega_\Lambda) = (0.28, 0.72)$ unter den flachen Modellen. Unterer Kasten: Die Abweichungen scheinen ohne erkennbare Tendenz zufällig zu streuen. Das Diagramm ist der Homepage des SCP [32] entnommen.

können, dass die von uns in sehr großen Entfernungen wahrgenommenen Supernovae-Ereignisse zu einer sehr viel früheren Evolutionsphase des Universums stattfanden, in der die verschiedenartigen (z.B. metallärmere) chemischen Häufigkeiten auch zu Variationen der Explosionsvorgänge führen können. Solche Effekte sind zweifellos vorhanden und werden auch theoretisch studiert. Durch das einfache Streckungsverfahren scheinen diese jedoch weitgehend korrigiert zu werden, denn es verbleibt danach kein evolutiver Trend in den Lichtkurven und auch die Spektren ändern sich nicht. All dies muss aber noch weiter untersucht werden. Besonders wichtig ist die Ausdehnung der Beobachtungen zu höheren Rotverschiebungen. Für eine detaillierte Diskussion sei der Leser auf die Originalarbeiten [27] und [29], sowie auf den kürzlich erschienenen Übersichtsartikel [30] verwiesen.

5 Anisotropien der Mikrowellenstrahlung

Obwohl schon die Supernovae-Daten bereits ziemlich deutlich für eine positive Vakuumenergiedichte sprechen, wird die Evidenz dafür wesentlich stärker in Verbindung mit den neuesten Daten über die *Anisotropie der kosmischen Mikrowellenhintergrundstrahlung*. Das von diesen Daten ausgesonderte längliche Gebiet in der $(\Omega_M, \Omega_\Lambda)$ Ebene steht nämlich nahezu senkrecht auf demjenigen der Supernovae-Daten und ist, wie schon gesagt, um die Gerade zu verschwindender räumlicher Krümmung konzentriert. Es ergibt sich damit eine relativ kleines Überlappungsgebiet, das in Abbildung 3 gezeigt ist.

Die überaus wichtige und fruchtbare Erforschung der Anisotropien in der kosmischen Mikrowellenhintergrundstrahlung (CMB) hat gegenwärtig ein kritisches Stadium erreicht und wird in den kommenden Jahren sicherlich eines der dominierenden Themen in der Kosmologie bleiben. Deshalb seien hier einige Worte über die physikalischen Grundlagen angefügt (siehe auch [18]).

Im Mikrowellen-Hintergrund sehen wir weitgehend unverfälscht die Temperaturschwankungen auf der „kosmischen Photosphäre“ bei der Rotverschiebung $z \approx 1100$. Zu diesem Zeitpunkt kombinierten die bis dahin freien Elektronen und Atomkerne zu neutralen Atomen, und die Wärmestrahlung entkoppelte von der Materie. Die theoretische Analyse der Entwicklung von Dichte- und Temperaturschwankungen vor dieser „Rekombinationszeit“ bietet bis auf die uns unbekanntes Anfangsbedingungen keine prinzipiellen Schwierigkeiten. Legt man für letztere die gegenwärtig bevorzugten inflationären Modelle des sehr frühen Universums zugrunde, so ergibt sich im Leistungsspektrum der Temperaturanisotropien eine Sequenz von sogenannten „akustischen Maxima“, deren Lage man recht einfach verstehen kann. Insbesondere entspricht das erste Maximum ungefähr der Ausdehnung des „Schallhorizontes“ auf der kosmischen Photosphäre, d.h. der Distanz, welche eine Druckwelle bis zum Zeitpunkt der Rekombination durchlaufen kann. Der Winkel, unter welchem wir diese Ausdehnung sehen (er beträgt etwa 1°), hängt im Wesentlichen nur von der räumlichen Krümmung

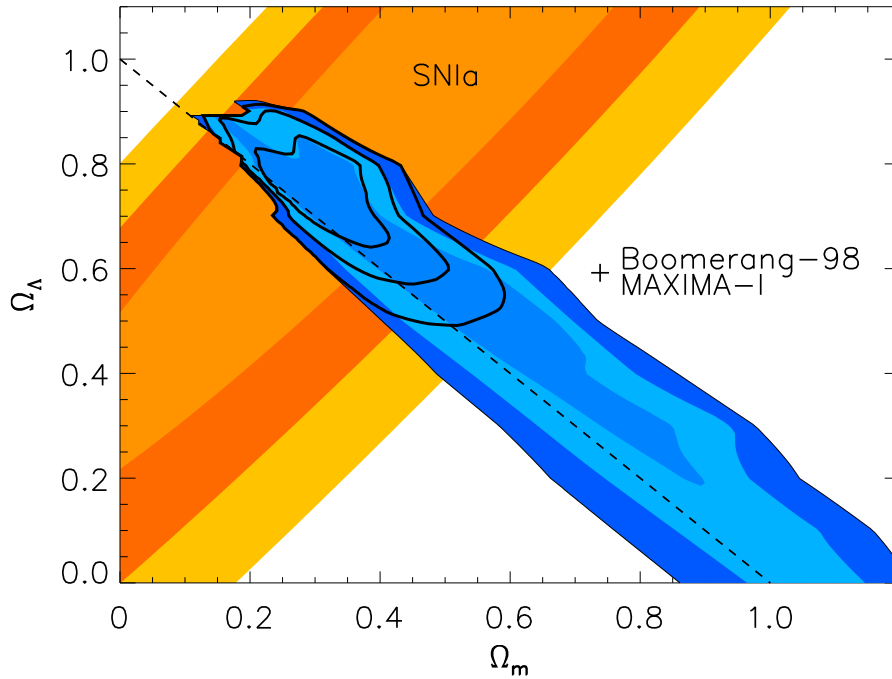


Abbildung 3: Konfidenzgebiete (68%, 95%, 99%) in der $(\Omega_M, \Omega_\Lambda)$ – Ebene der kombinierten BOOMERANG-98 und MAXIMA-1 Daten (blau) mit den Supernova Daten (orange). Es ist deutlich zu sehen, wie diese zueinander transversale Gebiete mit einem relativ kleinen Überlappungsgebiet aussondern. Die schwarzen Konturen im Überlappungsgebiet beranden die entsprechenden Konfidenzgebiete der gemeinsamen Daten. Flache Modelle liegen auf der schwarz-gestrichelten Diagonalen. Die in [2] berichteten Daten für Galaxienhaufen, die hier nicht eingezeichnet sind, sondern einen weiteren, vertikalen Streifen $\Omega_M = 0,3 \pm 0,1$ (1σ) aus, der dieses Überlappungsgebiet voll trifft. Das Diagramm ist [19] entnommen.

ab. Dabei wirkt eine positive Raumkrümmung auf Lichtstrahlen fokussierend (man denke sich als Analogon Lichtstrahlen auf einer Kugeloberfläche durch Großkreise gegeben) und daher wie bei einer Lupe vergrößernd. Bei negativer Krümmung ist es umgekehrt. Für positive Krümmung (negatives Ω_K) wird das Maximum also zu größeren Winkelabständen hin verschoben, für negative Krümmung (positives Ω_K) zu kleineren. Einem flachen Universum entspricht eine Lage des ersten Maximums bei etwa 1° , bzw $\ell = 200$ in der Entwicklung nach Kugelfunktionen.

Die Daten der neuesten Ballonexperimente „Boomerang-98“ [5][21] und „Maxima-1“ [15] führen zu fast identischen Ergebnissen, wie die neuste gemeinsame Auswertung [19] zeigt, die in der oberen Abbildung 4 wiedergegeben ist. Inesondere ist ein erstes Maximum bei $\ell \approx 200$ überdeutlich. Richtige Präzisionsvermessungen wird der NASA-Satellit MAP (Microwave Anisotropy Probe [23]) liefern, dessen Start für den Herbst diesen Jahres vorgesehen ist. Leider sind die Europäer viel langsamer: Der Start der ESA-Mission PLANCK [28] ist inzwischen auf 2007 verschoben worden.

Fazit und Ausblick

Wir haben astronomische Beobachtungen besprochen, die es jeweils gestatten, schmale aber langgestreckte Gebiete in der Ebene der zwei unabhängigen kosmologischen Parameter Ω_M und Ω_Λ auszusondern. Zusammengekommen ergeben diese die ungefähren Werte

$$(\Omega_M, \Omega_\Lambda, \Omega_K, q_0) \approx (1/3, 2/3, 0, -1/2), \quad (11)$$

wobei wir die abhängigen Parameter Ω_K der Krümmung und den Bremsparameter q_0 gleich mit aufgelistet haben.

Demnach befindet sich das gegenwärtige Universum in einem Zustand beschleunigter Expansion, den es für alle Zukunft beibehalten wird (siehe Anhang 1). Es ist räumlich nahezu flach und die Dichte an Materie, inklusive der dunklen Materie, macht nur etwa 1/3 der kritischen Dichte aus. Den doppelten und damit dominierenden Betrag an gravitativ wirksamer Energie- bzw. Massendichte stellt der kosmologische Term.

Hinsichtlich der oft gestellten Frage, ob wir in einem offenen oder geschlossenen Universum leben, ist folgender mathematischer Umstand zu beachten: Ein Universum positiv konstanter Krümmung ist notwendig geschlossen, also auch von endlichem Volumen. Ein flaches oder negativ gekrümmtes Universum kann, muss aber nicht offen, also von unendlichem Volumen sein. Hier werden die Zusammenhängeverhältnisse im Großen *nicht* durch die Geometrie festgelegt. Die hier besprochenen Daten sind sowohl mit verschwindender, als auch mit genügend kleinen Krümmungen beider Vorzeichen verträglich.

Es ist nun sehr befriedigend, dass andere und physikalisch unabhängige Methoden, wie z.B. Beobachtungen an reichen Galaxienhaufen, ebenfalls zu

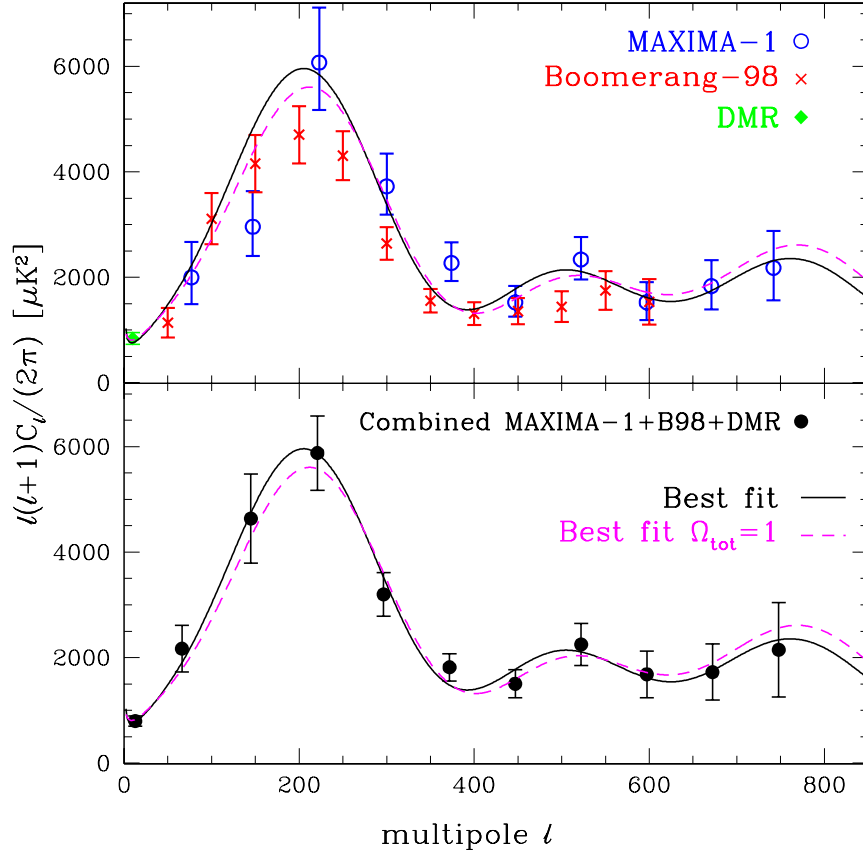


Abbildung 4: Leistungsspektrum der Anisotropien des Mikrowellenhintergrundes der Experimente MAXIMA-1 (Fenster: $\ell = 25 - 625$, Auflösung: $\delta\ell = 50$) und BOOMERANG-98 (Fenster: $\ell = 36 - 785$, Auflösung: $\delta\ell = 75$). ℓ bezeichnet wie üblich die „Drehimpulsquantenzahl“ in der Multipolentwicklung. Die Daten des Differential-Mikrowellen-Radiometers (DMR) des Satelliten COBE [8] betreffen nur die kleinsten Werte von ℓ . Im unteren Diagramm sind die Daten kombiniert. Deutlich ist ein erstes Maximum bei $\ell \approx 200$, entsprechend einer Winkeldistanz von $\Delta\Theta = \pi/\ell \approx 1^\circ$ zu sehen. Das 95% Konfidenzintervall für $\Omega_{\text{tot}} := \Omega_M + \Omega_\Lambda$ beträgt $\Omega_0 = 1.11 \pm 0.13$, ist also mit einem flachen Modell $\Omega_{\text{tot}} = 1$ verträglich. Die gestrichelten Kurven entsprechen einer besten Anpassung eines flachen Modells mit den kosmologischen Parametern $(\Omega_B, \Omega_M, \Omega_\Lambda, h) = (0.005, 0.3, 0.7, 0.70)$. Zusammen mit den Supernovae-Daten führt dies zur insgesamt besten Anpassung. Ω_B bezeichnet den baryonischen Anteil von Ω_M . Das Diagramm ist [19] entnommen.

einem Wert $\Omega \approx 0,3 \pm 0,1(1\sigma)$ gelangen (siehe [2]). Auch Massenbestimmungen mit Hilfe des Gravitationslinseneffektes stützen diesen Wert in schöner Weise (siehe z.B. [6]). Darüberhinaus ist es möglich, den *baryonischen Anteil* Ω_B von Ω_M getrennt zu bestimmen. Dies geschieht einerseits mit Hilfe der primordialen Häufigkeit der leichten Elemente, wie sie sich aus dem Urknallszenario der Nukleosynthese ergibt, andererseits durch Bestimmung von Intensitätsprofilen der Röntgenstrahlung des heißen Intraaufengases. Dabei ergibt sich übereinstimmend, dass nur etwa 1/6 der durch Ω_M repräsentierten Materie baryonischer Natur ist. Die Natur des restlichen und überwiegenden Anteils der Materie, die Ω_M ausmacht, ist uns bisher nicht bekannt.

Zusammen mit dem noch unklaren Ursprung von Ω_Λ kann man also sagen, dass wir heute nur etwa 1/20 der gravitativ nachweisbaren Energie in Materie von uns heute bekannter Natur lokalisieren können. In Anbetracht dieser Tatsache erscheinen gelegentliche Ankündigungen des Endes der Physik etwas verfrüht.

Auf die kürzlich vorgeschlagenen Versuche, das kosmische Koinzidenzproblem zu lösen, können wir hier nicht weiter eingehen. Die allgemeine Idee besteht darin, die kosmologische Konstante durch eine neue exotische Form von dynamischer Materie mit negativem Druck zu ersetzen. In Anlehnung an die ursprüngliche Bedeutung dieses Wortes hat diese den Namen „Quintessenz“ bekommen. In konkreten Modellen wird sie durch ein Skalarfeld beschrieben, dessen Dynamik so eingerichtet ist, dass sich die Energiedichte des Feldes von selbst der Materiedichte angleicht, und dies weitgehend unabhängig von den Anfangsbedingungen [35]. Die kosmologische Konstante wird also durch eine dynamische Größe ersetzt. Zukünftige genauere Beobachtungen werden es ermöglichen, eine der beiden Möglichkeiten zu verwenden.

Anhang 1: Dynamik der Friedmann-Lemaître Modelle mit kosmologischer Konstante

In der Allgemeinen Relativitätstheorie besteht ein kosmologisches Modell in der Angabe zweier Strukturen: 1) einer 4-dimensionalen Raum-Zeit und 2) einem zeitartigen Vektorfeld, das die (mittlere) Bewegung der Materie repräsentiert. Die Klasse der Friedmann-Lemaître-Modelle ist definiert durch die Forderung, dass für *jeden* mit der Materie bewegten Beobachter Rotationssymmetrie herrscht. Daraus folgt, dass das 4-dimensionale Linienelement in der Form

$$ds^2 = -dt^2 + a^2(t)d\sigma^2 \quad (12)$$

geschrieben werden kann. (In diesem Anhang benutzen wir Einheiten, in denen $c = 1$ ist.) Darin ist t die kosmische Zeit, die durch die Eigenzeit der Materie definiert wird und $d\sigma^2$ ist ein 3-dimensionales Linienelement einer räumlichen Geometrie von normierter konstanter Krümmung ± 1 oder 0. Die ein-

zige dynamische Variable ist der globale räumliche Skalenfaktor $a(t)$, der angibt, wie sich physikalische Abstände zwischen Raumpunkten gleicher kosmischer Zeit t mit dieser Zeit ändern.

Setzt man (12) in die Einstein-Gleichung mit kosmologischer Konstante Λ ein, wobei die Materie durch eine Massendichte ρ_M und einen Druck p_M repräsentiert wird, so erhält man die zwei unabhängigen Gleichungen:

$$\left(\frac{\dot{a}}{a}\right)^2 = \frac{8\pi G}{3}\rho_M + \frac{\Lambda}{3} - \frac{k}{a^2}, \quad (13)$$

$$\ddot{a} = -\frac{4\pi G}{3}(\rho_M + 3p_M)a + \frac{\Lambda}{3}a. \quad (14)$$

Diese implizieren eine Art Energieerhaltungsgleichung:

$$\dot{\rho}_M = -3\frac{\dot{a}}{a}(\rho_M + p_M). \quad (15)$$

Für $\dot{a} \neq 0$ ziehen je zwei dieser Gleichungen die dritte nach sich und repräsentieren damit die gesamte Information der Einsteinschen Feldgleichungen. Ist $p_M \neq 0$, so muss zusätzlich noch eine Zustandsgleichung $p_M(\rho_M)$ hinzukommen.

Zum gegenwärtigen Zeitpunkt der Entwicklung des Universums, der mit t_0 bezeichnet sei, dominiert aber die nichtrelativistische Materie, so dass der Druck p_M vernachlässigbar ist. Gleichung (15) impliziert dann sofort die zeitliche Konstanz von $\rho_M a^3$. Der Hubble-Parameter ist definiert durch $H_0 = \dot{a}_0/a_0$, wobei hier und im Folgenden der Index 0 die Auswertung zur Zeit t_0 bezeichnet. Betrachtet man (13) zum Zeitpunkt t_0 und dividiert die Gleichung durch H_0^2 , so folgt mit (6)

$$\Omega_M + \Omega_\Lambda + \Omega_K = 1, \quad (16)$$

wobei $\Omega_K := -k/a_0^2 H_0^2$.

Der *Bremsparameter* $q_0 := -\ddot{a}_0/a_0 H_0^2$ bestimmt, ob die gegenwärtige Expansion verzögert ($q_0 > 0$) oder beschleunigt ($q_0 < 0$) verläuft. Addiert man $2 \times (14)$ zu (13) und benutzt (16) so erhält man

$$q_0 = \frac{1}{2}\Omega_M - \Omega_\Lambda. \quad (17)$$

Zum Verständnis der Dynamik bei verschwindendem Materiedruck ist es zweckmäßig, Gleichung (13) in folgender dimensionsloser Form zu schreiben: Man setzt $\tau := H_0 t$ und $x(\tau) := a(t)/a(t_0)$; mit $\rho_M a^3 = \text{konst.}$ erhält man

$$\left(\frac{dx}{d\tau}\right)^2 + U(x) = \Omega_K, \quad (18)$$

$$\text{mit } U(x) = -\Omega_M x^{-1} - \Omega_\Lambda x^2, \quad (19)$$

was (modulo eines unwichtigen globalen Faktors $\frac{1}{2}$) als Energiesatz einer eindimensionalen Bewegung eines Teilchens im Potential $U(x)$ und Gesamtenergie Ω_K gemäß der Newtonschen Mechanik interpretiert werden kann.

Für $\Omega_\Lambda > 0$ hat U genau ein Maximum. Rollt das Universum über dieses hinweg, so setzt eine unendliche Zeit beschleunigter Expansion ein, in der wir uns gegenwärtig zu befinden scheinen. Analog lassen sich mit (19) die in Abbildung 1 eingezeichneten Grenzkurven für die Dynamik nachvollziehen. Beachte insbesondere, dass $q_0 = 0$ gemäß (17) der Geraden $\Omega_\Lambda = \frac{1}{2}\Omega_M$ entspricht.

Einsteins statisches Universum entspricht der Lösung $\Lambda = a^{-2} = 4\pi G\rho_M$ und $k = 1$ von (13,14), die am Maximum des Potentials (19) verweilt und deshalb instabil ist. De Sitters Universum entspricht der Lösung für $\rho_M = p_M = 0$ und $k = 1$, die, wie man aus (14) sofort sieht, für große t exponentiell expandiert.

Anhang 2: Vakuumfluktuationen in der Quantenfeldtheorie

In diesem Anhang benutzen wir Einheiten, in denen $c = 1$ und $\hbar = 1$ ist.

In der Quanten(feld)theorie führen die notwendigerweise auch im Vakuumzustand existenten *Schwankungen* zu einer nicht verschwindenden Energie. Dies sei zunächst am harmonischen Oszillator erläutert.

Dessen Energieoperator als Funktion des Ortsoperators q und Impulsoperators p ist bekanntlich gegeben durch

$$H = \frac{1}{2}p^2/m + \frac{1}{2}m\omega^2q^2, \quad (20)$$

mit m und ω als seine Masse und Kreisfrequenz.

Die kanonischen Vertauschungsrelationen $[q, p] = i$ bedingen nun eine nicht verschwindende Energie für den Grundzustand. Da nämlich die Erwartungswerte von q und p verschwinden, sind die Erwartungswerte ihrer Quadrate gleich den Schwankungsquadraten. Die Schwankungen selbst genügen aber der Unschärferelation $\Delta q \cdot \Delta p \geq \frac{1}{2}$, die somit verhindert, dass die Erwartungswerte für potentielle und kinetische Energie gleichzeitig beliebig klein werden können. Als Kompromiss ergibt sich eine minimale Gesamtenergie (Grundzustand) von $\frac{1}{2}\omega$, zu der beide Teilenergien gleich beitragen.

Das gleiche Phänomen existiert nun bei quantisierten Feldern. Nehmen wir z.B. das freie elektromagnetische Feld: Hier ist die Energiedichte gegeben durch

$$\rho = \frac{1}{2}(\vec{E}^2(\vec{x}) + \vec{B}^2(\vec{x})). \quad (21)$$

Der Ortsvariablen q entspricht hier das Vektorpotential $\vec{A}(\vec{x})$, wobei $\vec{B} = \vec{\nabla} \times \vec{A}$, der Impulsvariablen das Negative des elektrischen Feldes $-\vec{E}(\vec{x})$. Diese erfüllen zu gleichen Zeiten wieder die kanonischen Vertauschungsrelationen, aus denen man durch einfache Differentiation den Kommutator zwischen elektrischem und magnetischem Feld zu gleichen Zeiten erhält (Jordan und Pauli, 1928):

$$[E_i(\vec{x}), B_{jk}(\vec{y})] = i(\delta_{ij}\partial_k - \delta_{ik}\partial_j) \delta^{(3)}(\vec{x} - \vec{y}), \quad (22)$$

wobei $B_{12} := B_3$ und zyklisch. Im Grundzustand verschwinden wieder die Erwartungswerte der Feldstärken, so dass seine Energiedichte wieder eine Summe von Schwankungsquadraten des elektrischen und magnetischen Anteils ist, die wegen (22) nicht gleichzeitig klein gemacht werden können. Der energetische Grundzustand, genannt *Vakuum*, ergibt sich wieder aus einem Kompromiss minimaler Unschärfen in beiden Feldern, wobei beide Terme in (21) gleich beitragen. Gegenüber der Quantenmechanik besteht hier jedoch noch die mathematische Notwendigkeit der Regularisierung, ohne die Ausdrücke wie $\vec{E}^2(\vec{x})$ (d.h. Quadrate von Feldoperatoren am gleichen Punkt) keinen mathematischen Sinn haben. Dazu verschmiert man die Feldoperatoren am Punkt \vec{x} mit Testfunktionen f , d.h. man bildet

$$\vec{E}_f(\vec{x}) := \int d^3y \vec{E}(\vec{x} + \vec{y}) f(\vec{y}) \quad (23)$$

und berechnet den Vakuumerwartungswert des Quadrats. Es ergibt sich

$$\langle \vec{E}_f^2(\vec{x}) \rangle_{\text{vac}} = 2 \int \frac{d^3k}{(2\pi)^3} \frac{\omega}{2} |\hat{f}(\vec{k})|^2, \quad (24)$$

wo \hat{f} die Fouriertransformierte von f im \vec{k} -Raum ist und $\omega = |\vec{k}|$.

Die räumlich Energiedichte des Vakuums, die wegen der Translationsinvarianz des Vakuums konstant sein muss, ist einfach durch (24) gegeben, da elektrischer und magnetischer Anteil in (21) gleich beitragen. Dieser Ausdruck divergiert, falls \hat{f} nicht genügend schnell abfällt (Ultraviolett-Divergenz). Wählt man $\hat{f} \equiv 1$ für Frequenzen kleiner einer Maximalfrequenz K und $\equiv 0$ für Frequenzen darüber, so ergibt sich die K -abhängige Vakuumenergiedichte zu

$$\rho_{\text{vac}} = \frac{K^4}{8\pi^2}. \quad (25)$$

Ohne Gravitation kümmern wir uns nicht um die Energiedichte des Vakuums, da dann nur *Energiedifferenzen* beobachtbar sind. Aber auch dann können Quantenfluktuationen des Vakuums wichtig sein, wie z.B. beim Casimir-Effekt deutlich wird. Dort werden durch die Anwesenheit leitender Platten unterschiedliche Randbedingungen an das elektromagnetische Feld gestellt und die verschiedenen Konfigurationen verglichen. Für die beobachtbaren Größen, wie z.B. die Anziehungskraft der erwähnten Platten, ergeben sich dabei stets Ausdrücke, die im Limes $K \mapsto \infty$ endlich bleiben und nun auch in Präzisionsexperimenten verifiziert wurden. Siehe dazu [20] und die dort angegebenen Referenzen.

Die *gravitative* Wirkung der Vakuumfluktuationen muss nach den Einstein-Gleichungen über den Erwartungswert ihres Energie-Impuls-Tensors laufen, der aus Invarianzgründen gerade die Form eines kosmologischen Terms mit $\Lambda_{\text{vac}} = 8\pi G \rho_{\text{vac}}$ hat. Zusammen mit einem eventuell a priori vorhandenem Λ_0 , das keiner zusätzlichen Energieform entspräche sondern als neue Naturkonstante den Vakuum-Einsteingleichungen zugehörig wäre,

ergibt sich dann ein effektives $\Lambda = \Lambda_0 + \Lambda_{\text{vac}}$ für das dann aus den bereits genannten Gründen ρ_Λ wiederum nicht wesentlich größer als $< \rho_{\text{krit}}$ sein kann. Für eine Abschneideskala K in der Größenordnung $K \approx 0,1 \text{ GeV}$ (QCD-Phasenübergang) müssten Λ_0 und Λ_{vac} auf über 40 Stellen genau entgegengesetzt gleich sein; bei $K \approx 100 \text{ GeV}$ (Fermi-Skala) müsste diese Genauigkeit sogar auf über 52 Stellen genau gelten. Das Problem der kosmologischen Konstanten stellt sich dann in Form einer unerklärten extremen Feinabstimmung.

Literatur

- [1] *W. Baade*, The Absolute Photographic Magnitude of Supernovae, *Astrophys. J.* 88, 285-304 (1938)
- [2] *N.A. Bahcall, J.P. Ostriker, S. Perlmutter und P.J. Steinhard*, The Cosmic Triangle: Revealing the State of the Universe, *Science* 284, 1481-1478 (1999). Eine aktualisierte Version ist bei (<http://xxx.lanl.gov>) unter arXiv:astro-ph/9906463 erhältlich
- [3] *A. Balbi et al.*, Constraints on Cosmological Parameters from MAXIMA-1, (<http://xxx.lanl.gov>) arXiv:astro-ph/0005124
- [4] *J. Barbour, H. Pfister (Herausgeber)*, Mach's Principle, Einstein Studies Vol. 6 (Birkhäuser Verlag, Boston 1995)
- [5] *P. de Bernardis et al.*, A Flat Universe from High-Resolution Maps of the Cosmic Microwave Background Radiation, *Nature* 404, 955-959 (2000). Siehe auch die BOOMERANG-Homepage: (<http://puck.roma1.infn.it/>)
- [6] *H. Böhringer et al.*, An ASCA-ROSAT Study of the Distant, Lensing Cluster A2390, *Astron. Astrophys.* 334, 789-798 (1998)
- [7] *G. Börner, J. Ehlers und H. Meier (Herausgeber)*, Vom Urknall zum komplexen Universum (Piper Verlag, München 1993)
- [8] COBE-Homepage: (<http://space.gsfc.nasa.gov/astro/cobe/>)
- [9] *S.A. Colgate*, Supernovae as Standard Candle for Cosmology, *Astrophys. J.* 232, 404-408 (1979)
- [10] *A. Einstein*, Kosmologische Betrachtungen zur allgemeinen Relativitätstheorie, *Sitzungsber. Königl. Preuss. Akad. Wiss., phys.-math. Klasse, VI*, 142-152 (1917)
- [11] *A. Einstein* Zum kosmologischen Problem der allgemeinen Relativitätstheorie, *Sitzungsber. Königl. Preuss. Akad. Wiss., phys.-math. Klasse, XII*, 3-5 (1931)

- [12] *A. Einstein* Grundzüge der Allgemeinen Relativitätstheorie, Vieweg 1956; hier zitiert ist Fußnote 1 aus Anhang I.
- [13] *C.P. Enz und A. Thellung*, Nullpunktsenergie und Anordnung nicht vertauschbarer Faktoren im Hamiltonoperator, *Helv. Phys. Acta* 33, 839-848 (1960)
- [14] *J. Gribbin*, *The Birth of Time* (Phoenix Paperback, Orion Books Ltd, London 2000)
- [15] *S. Hanany et al.*, Maxima-1: A Measurement of the Cosmic Microwave Background anisotropy on angular scales of $10'$ to 5° , (<http://xxx.lanl.gov>) arXiv:astro-ph/0005123
- [16] *E. Harrison*, Newton and the Infinite Universe, *Physics Today* / Feb. 1986, 24-31
- [17] *O. Heckmann*, *Theorien der Kosmologie*, berichtigter Nachdruck (Springer-Verlag, Berlin 1968)
- [18] *W. Hu et al.*, The Physics of Microwave Background Anisotropies, *Nature* 386, 37-43 (1997)
- [19] *A.H. Jaffe et al.*, Cosmology from MAXIMA-1, BOOMERANG & COBE/DMR CMB Observations, (<http://xxx.lanl.gov>) arXiv:astro-ph/0007333
- [20] *M. Kardar und R. Golestanian*, The “Friction” of Vacuum, and Other Fluctuation-Induced Forces, *Rev. Mod. Phys.* 71, 1233-1245 (1999)
- [21] *A.E. Lange et al.*, First Estimations of Cosmological Parameters from BOOMERANG, (<http://xxx.lanl.gov>) arXiv:astro-ph/0005004
- [22] *P.S. de Laplace*, *Traité de Mécanique Céleste*, Tome V, Livre XVI, Chapitre IV; *Œuvres Complètes*, Gauthier-Villars, Paris 1882
- [23] MAP-Homepage: (<http://map.gsfc.nasa.gov>)
- [24] *B.R. Parodi, A. Saha, A. Sandage, G.A. Tammann*, Supernova Type Ia Luminosities, Their Dependence on Second Parameters, and the Value of H_0 , (<http://xxx.lanl.gov>) arXiv:astro-ph/0004063
- [25] *Wolfgang Pauli*, *Relativitätstheorie*, (neu herausgegeben von D. Giulini, Springer-Verlag Heidelberg, 2000).
- [26] *J.A. Peacock*, *Cosmological Physics* (Cambridge University Press, Cambridge 1999)
- [27] *S. Perlmutter et al.*, Measurements of Ω and Λ from 42 high-redshift supernovae, *Astrophys. J.* 517, 565-586 (1999)

- [28] PLANCK-Homepage: (<http://sci.esa.int/home/planck>)
- [29] *A.G. Riess et al.*, Light Curves for 22 Type Ia Supernovae, *Astron. J.* 117, 707-724 (1999)
- [30] *A.G. Riess*, The Case for an Accelerating Universe from Supernovae, (<http://xxx.lanl.gov>) arXiv:astro-ph/0005229
- [31] *H. Seeliger*, Über die Anwendung der Naturgesetze auf das Universum, *Sitzungsber. Königl. Bayer. Akad. Wiss., math.-phys. Klasse*, Jahrg. 1909, 4. Abhandlung 1-25
- [32] SCP-Homepage: (<http://www-supernova.LBL.gov>)
- [33] *G.A. Tammann*, ESA/ESO workshop on astronomical uses of the space telescope, 329. Herausgegeben von F. Macchetto, F. Pacini und M. Tarenghi, ESO, Genf 1979
- [34] *S. Weinberg*, The Cosmological Constant Problem, *Rev. Mod. Phys.* 61, 1-23 (1989).
- [35] *I. Zlatev, L. Wang und P.J. Steinhardt*, Quintessence, Cosmic Coincidence, and the Cosmological Constant, *Phys. Rev. Lett.* 82, 896-899 (1998)